

e-ISSN: 2621-5934 p-ISSN: 2621-7112

SUBMISSION 7

Analisis Perhitungan Heat Exchanger Jenis Plate – Frame Pada Intercooler Dengan Jenis Shell And Tube

Rezal Arby Handoko¹¹, dan La Ode M Firman¹

Abstrak. Heat exchanger merupakan salah satu komponen penting di PLTP, karena berfungsi untuk memindahkan energi panas antara dua atau lebih fluida yang memiliki perbedaan temperatur. Studi ini bertujuan untuk menganalisis perbandingan kinerja heat exchanger tipe plate-frame pada intercooler, dimana air pendingin primary digunakan untuk mendinginkan air pendingin secondary. Heat exchanger yang digunakan di pembangkit ini adalah tipe plate heat exchanger. Namun, beberapa masalah ditemukan pada plate heat exchanger ini, yaitu mudahnya terjadi kebocoran pada seal yang diakibatkan dari gasket yang mudah mengalami deformasi bentuk dan apabila terjadi kerusakan pada plate, plate tersebut harus diganti dan tidak bisa diperbaiki, sedangkan material yang digunakan pada heat exchanger ini adalah titanium yang memiliki harga relatif mahal. Metode penelitian yang diterapkan, yaitu mengumpulkan data komisioning dan data aktual harian pada intercooler dan menggunakan data desain untuk shell and tube. Penelitian ini akan membahas perancangan perhitungan dimensi shell and tube dengan 1 cangkang dan 2 pipa yang menerapkan arah aliran counter flow. Dengan hasil perancangan tersebut, maka akan diketahui perbandingan tipe heat exchanger yang memiliki kinerja dan keunggulan yang lebih baik dengan metode pengambilan data, wawancara dan analisis. Hasil perancangan heat exchanger tipe shell and tube ini memiliki nilai efektivitas sebesar 45,65 % lebih baik jika dibandingkan dengan efektivitas pada intercooler sebesar 30,7% dengan dimensi panjang 1,83m, diameter shell 0,405m, diameter luar tube 0,01905m, diameter dalam tube 0,01483m, luas daerah per tube 0,00017m dengan material baja (SUS304).

Kata Kunci-Desain, Efektivitas, Heat exchanger, Intercooler

1. PENDAHULUAN

Indonesia merupakan negara yang memiliki kekayaan energi panas bumi atau energi geotermal. Energi panas bumi yang dikelola oleh PT Indonesia Power UPJP Kamojang merupakan penerapan energi yang ramah lingkungan. Uap panas yang terdapat di dalammnya digunakan untuk menggerakan turbin, di mana turbin ini telah terhubung dengan generator. Sehingga dapat menghasilkan energi listrik. Salah satu komponen penting pada PLTP yaitu alat penukar panas atau yang biasa disebut dengan *heat exchanger*. Pada umumnya *heat exchanger* digunakan pada sistem pendinginan, salah satunya yaitu pada sistem pendinginan *intercooler*.

Permasalahan yang sering terjadi pada *intercooler* jenis *plate-frame* di PLTP ini yaitu dari segi pemeliharaan, dimana sering terjadinya kebocoran pada pelat yang dikarenakan gasket pada seal sudah mulai rusak akibat dari *life time* dan kinerja dari *intercooler* pun sudah mulai berkurang yang dikarenakan jumlah pelat sudah banyak yang dikurangi akibat dari kerusakan tersebut. Sehingga mengakibatkan proses penukaran kalor pada *plate-frame* tidak bekerja dengan baik. Tujuan dari penelitian ini adalah untuk melakukan perancangan *shell and tube* dengan memperhatikan beberapa parameter seperti nilai NTU, efektivitas dan perhitungan dimensi *heat exchanger* jenis *shell and tube* dengan satu cangkang dan dua pipa yang menerapkan arah aliran *counter flow. Shell and tube* merupakan alat penukar kalor yang sering digunakan di industri khusunya pembangkit listrik. Dengan hasil perancangan tersebut, maka akan diketahui perbandingan tipe *heat exchanger* yang memiliki kinerja dan keunggulan yang lebih baik.

2. TEORI DASAR

Intercooler

Intercooler merupakan heat exchanger jenis pelat. Dalam plate heat exchanger, pelat disusun dengan susunan tertentu, sehingga terdapat dua jalur yakni hot side dan cold side. Hot side dialiri fluida yang relatif lebih tinggi suhunya, sedangkan cold side sebaliknya. Fluida yang dapat digunakan sebagai pendingin bisa dari fludia yang berjenis sama ataupun jenis fluida yang berbeda. Di PLTP ini menggunakan fluida yang sama berupa zat cair yaitu air. Pertukaran panas terjadi dari fluida temperatur tinggi ke fluida yang temperatur rendah yang dialirkan melalui pelat – pelat yang memisahkan kedua jalur.

Komponen Intercooler Plate

Komponen pelat pada Plate Heat Exchanger yang ditunjukkan pada gambar 2.1 berfungsi sebagai tempat mengalirnya fluida panas dan fluida dingin. Bentuk dan pola dari pelat sangat menentukan proses perpindahan kalor. Setiap pelat dibentuk cekungan supaya didapatkan pola yang bergelombang yang nantinya akan menyebabkan jalur aliran yang berdekatan, berliku-liku yag dapat meningkatkan transfer kalor dan mengurangi fouling atau pengendapan yang terjadi dengan meningkatnya tegangan geser dan turbulensi aliran[1].

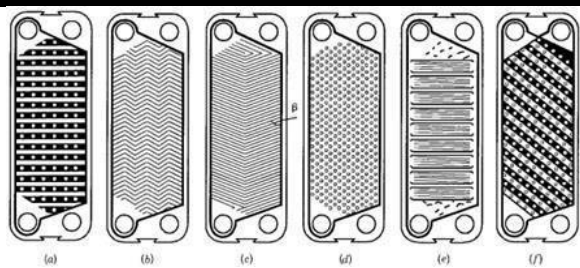
¹ Corresponding author: rezalhandoko49@gmail.com



KE-31

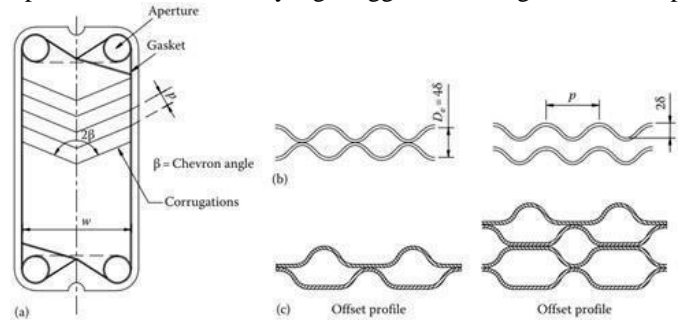
¹Jurusan Teknik Mesin, Fakultas Teknik, Universitas Pancasila, 12640, Jakarta, Indonesia





Gambar .1. Berbagai macam tipe plat pada plate heat exchanger[1]. Pola Plate (a) washboard.; (b) zig-zag.; (c) chevron/herringbone.; protrusions and depressions.; (e) washboard with secondary corrugation.; (f) oblique washboard.

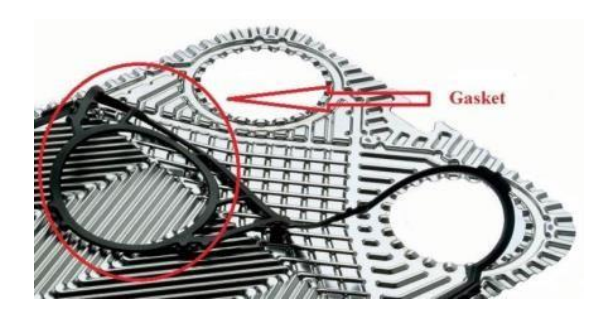
Pola plat yang ditunjukkan pada gambar 2.2 digunakan di PLTP ini adalah tipe chevron/herringbone dikarenakan memiliki berbagai kelebihan, diantaranya adalah terbentuknya turbulensi aliran pada kecepatan rendah (0.1-1 m/s) dan dapat menahan tekanan yang tinggi meski dengan ketebalan plat yang relatif tipis[1].



Gambar 2. Pola plat chevron

GASKET

Pada gambar 2.3 merupakan gasket pada PHE berfungsi untuk mengatur aliran fluida, yang membatasi aliran fluida agar tidak bercampur satu sama lain. Dari semua komponen yang ada dalam Plate Heat Exchanger, gasket merupakan komponen yang paling sering diganti, karena pada umumnya gasket adalah komponen yang mengalami deformasi bentuk. Material dari gasket sendiri harus memiliki ketahanan terhadap reaksi kimia dan temperatur yang tinggi, juga dapat digunakan pada periode yang lama [1].



Gambar 3. Gasket pada plate heat exchanger [1].

• FRAME

Frame berfungsi sebagai penyangga unit Plate Heat Exchanger, dimana frame akan mengapit susunan pelat di dalamnya. Bentuk frame diklasifikasikan menjadi tipe C frame, B frame, dan F frame. Tipe C frame digunakan untuk Plate Heat Exchanger berukuran kecil, tipe B frame digunakan untuk Plate Heat Exchanger berukuran besar, dan tipe F digunakan untuk Plate Heat Exchanger berukuran sedang. Material frame biasanya adalah carbon steel yang dilapisi lapisan anti korosi.





Shell and tube Heat exchanger

Heat exchanger tipe ini merupakan heat exchanger yang paling banyak digunakan di industri, pabrik dan pembangkit karena memiliki kinerja serta efektivitas yang lebih baik jika dibandingkan dengan heat exchanger tipe plate-frame. Selain itu heat exchanger ini terdiri dari pipa – pipa yang diikat menjadi satu atau biasa disebut bundel. Pipa – pipa ini dihubungkan secara sejajar yang di tempatkan pada suatu shell. Fluida panas akan dialirkan pada sisi pipa yang telah dijadikan satu, sedangkan fluida yang dingin akan dialirkan melalu sisi shell. Arah aliran nya bisa diterapkan pada alat penukar panas ini adalah counter flow, cross flow, ataupun parallel flow. Ada beberapa fitur desain termal yang akan diperhitungkan saat merancang tabung di shell dan penukar panas tabung, yaitu:

a. Diameter pipa

Menggunakan tabung dengan ukuran diameter yang kecil membuat proses perpindahan panas dapat menjadi ekonomis dan kompak. Penggunaan tabung yang kecil dapat mempersulit proses perawatan dan pembersihan, khususnya dalam penanganan fouling pada pipa. Maka dari itu penggunaan pipa yang lebih besar dapat dijadikan sebuah solusi agar proses pembersihan fouling dan kotoran yang terbawa pada pipa dapat dibersihkan dengan maksimal. Dalam menentukan diameter tabung, ruang yang tersedia, biaya serta sifat *fouling* dari fluida harus dipertimbangkan[2].

b. Ketebalan tabung

Ketebalan dinding tabung biasanya ditentukan untuk memastikan:

- Ada ruang yang cukup untuk korosi
- Tahan vibrasi
- Axial kekuatan
- Ketersediaan stok suku cadang

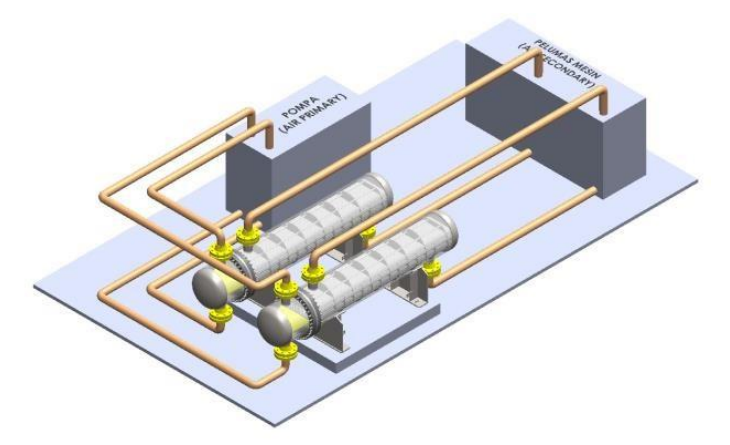
c. Panjang tabung

Penentuan panjang tabung juga merupakan hal penting agar pengguna dapat menyesuaikan ukuran dari *shell and tube* yang ingin digunakan. Selain itu penentuan ukuran panjang tabung juga harus disesuaikan dengan ukuran ruang yang tersedia. Karena penentuan ukuran panjang tabung sangat penting juga untuk proses perpindahan panas. Umumnya jika proses perpindahan panas berlangsung cukup lama, maka efektivitas yang terjadi pada alat tersebut akan semakin baik. Ada beberapa cara meskipun dengan ukuran tabung yang terbatas tapi dapat berlangsung proses perpindahan panas yang cukup lama, biasanya menerapkan penggunaan 2 cangkang dengan penggunaan pipa yang lebih dari 2.

d. Tabung pitch

Dalam merancang dan mendesain ukuran tabung, memperhatikan ukuran tabung *pitch* sangat penting. Berdasarkan teori yang terdapat dibeberapa buku tabung *pitch* (yaitu jarak pusat-pusat tabung sebelah) tidak kurang dari 1,25 kali diameter luar tabung. Fluida dingin harus berada di dalam cangkang, sedangkan fluida yang panas harus berada di dalam tube. Karena *shell and tube heat exchanger*, khususnya pada bagian pipa biasanya digunakan untuk aplikasi fluida yang bertekanan tinggi dan bertemperatur tinggi. Umumya pipa pada *Shell and tube* bertekanan lebih dari 30 bar dengan temperatur lebih dari 260 °C. [3]

Desain shell and tube one shell two tube

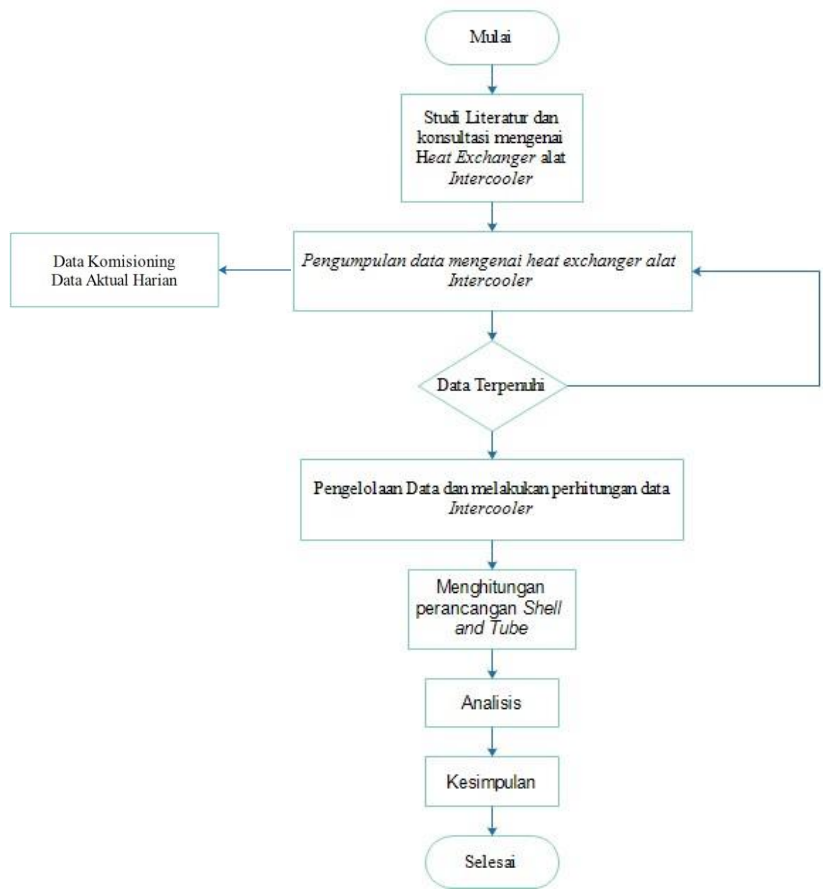


Gambar 4. Desain shell and tube one shell two tube





Bagan Diagram Alir



Teknik Pengolahan Data

1) Menghitung Laju Perpindahan Panas dengan Metode LMTD (Log Mean Temperature Difference)

Menghitung Log Mean Temperature Difference [4]
$$T_{lm} = \frac{\Delta T_1 - \Delta T_2}{ln(\frac{\Delta T_1}{\Delta T_2})}$$
(2.1)

$$\Delta T_{m} = \Delta T_{lm} \times F \qquad (2.2)$$

Menghitung Koefisien Konveksi [3]

$$Pr = \frac{\eta \times Cp}{k}$$
(2.3)

$$Re = \frac{\rho \times v \times l}{r}$$
 (2.4)

$$Nu = 0.664 \times Re^{0.5} \times Pr^{0.33}$$

$$\alpha_i = Nu \times \frac{\lambda}{De}$$
(2.5)

Laju Perpindahan Panas [6]

$$Q_{act} = \dot{m} \times c_p \times \Delta T \qquad (2.6)$$

Menghitung Koefisien Overall Heat Transfer [7]

$$\frac{1}{U} = \frac{1}{\alpha h} + \frac{1}{\lambda p} + \frac{1}{\alpha c} + R_f$$
(2.7)

• NTU (Number Transfer Unit) [5]

$$NTU = \frac{U \times A}{Cmin}$$
2) Menghitung Nilai Efektifitas Heat exchanger

• Laju Kapasitas Panas (C) [3]

$$C_{ch} = m_{ch} \times C_{p, ch} \qquad (2.9)$$



e-ISSN: 2621-5934 p-ISSN: 2621-7112

• Laju Perpindahan Panas Maksimun (Qmaks) [5] $Q_{maks} = c_{min} \times (T_{ki} - T_{c,i}) \qquad (2.10)$ • Efektifitas Plate-Frame Heat exchanger (E) [5] $E = \frac{Qact}{Qmax} \times 100\% \qquad (2.11)$

3. DATA HASIL PERHITUNGAN

Hasil Perhitungan Efektivitas Perpindahan Panas Plate-Frame Heat exchanger pada Intercooler

Tabel 1. Data hasil perhitungan laju perpindahan panas dan efektivitas *plate-frame heat exchanger* pada *intercooler*

Jam	Suhu Primary [°C]		Suhu Secondary [°C]		Qact [kW]	Qmaks [kW]	E [%]
	T1in		t1in				
00:00	32,5	33,5	39	37	19,4	63,1	30,7

Tabel 2. Data hasil perhitungan perancangan heat exchanger tipe shell and tube pada intercooler

No.	Parameter	Nilai	Satuan				
1.	Luas perpindahan panas	5,33	m ²				
2.	Perubahan suhu logaritmik (Δ)(n)	5,1	оС				
3.	Konduktivitas termal SUS 304	16,3	$W/(m^2.0C)$				
4.	Koefisien perpindahan panas keseluruhan (Ud)	1703,46	W/(m ² .o _C)				
5.	Pressure drop pada sisi tube	0,00281	Bar				
6.	Pressure drop pada sisi shell	0,4386	Bar				
Dimensi Alat Penukar Panas							
1.	Panjang	1,83	m				
2.	Shell diameter	0,405	m				
3.	Bundle diameter	0,205	m				
4.	Tube outside diameter	0,01905	m				
5.	Tube inside diameter	0,01483	m				
6.	Flow area per tube	0,00017	m^2				

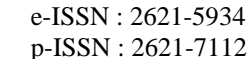
Tabel 3. Data penunjang untuk perhitungan efektivitas heat exchanger tipe shell and tube pada intercooler

Suhu		Suhu				
Primary		Secondary		Qact	Qmaks	3
[°C]		[°C]		[kW]	[kW]	[%]
T1in	T2out	t1in t2out				
33	37	42,2	38	40,738	89,23	45,65

Perhitungan Efektivitas Perpindahan Panas Plate-Frame Heat exchanger pada Intercooler

$$\begin{array}{ll} \text{a.} & \text{Laju Perpindahan Panas} \\ Q = Q_b = Q_c \\ \dot{Q} = \dot{m}_b \times c_{p,b} \times (T_{h\circ} - T_{h,i}) \\ & = 2,32 \times 4179 \times (39 - 37) \\ & = 19406,78723 \text{ Watt} \\ \text{a.} & \text{Beda Temperatur Rata-rata Logaritma (LMTD)} \\ \Delta T_{lm} = \frac{\Delta T_1 - \Delta T_2}{ln\left(\frac{\Delta T_1}{\Delta T_2}\right)} \\ \Delta T_1 = \left(T_{h1} - T_{c2}\right) & \Delta T_2 = \left(T_{h2} - T_{c1}\right) \end{array}$$







$$= (39 - 33.5) = (37 - 32.5)$$

$$= 5.5 ^{\circ}C = 4.5 ^{\circ}C$$

$$\Delta T_{lo} = \frac{\Delta T_1 - \Delta T_2}{ln(\frac{\Delta T_1}{\Delta T_2})}$$

$$= \frac{5.5 - 4.5}{ln(\frac{5.3}{4.5})} = 4.98 ^{\circ}C$$

Faktor koreksi untuk plate-frame heat exchanger aliran berlawanan:

$$R = \frac{(T1-T2)}{(t2-t1)} = \frac{(32,5-33,5)}{(37-39)} = 0,5$$

$$S = \frac{(t2-t1)}{(T1-t1)} = \frac{(37-39)}{(32,5-39)} = 0,31$$

Berdasarkan grafik faktor koreksi plate-frame heat exchanger aliran berlawanan pada gambar 2.7, jadi nila F = 0.77 [5].

Koefisien Konveksi

$$\begin{array}{lll} \Pr = \frac{\eta \times Cp}{k} & \text{Re} & = \frac{u \times p \cdot De}{\eta} \\ = \frac{0,000653 \times 4179}{0,31} & = \frac{0,0777 \times 992,63 \times 0,09}{0,000653} \\ = 8,80286129 & = 10630,21318 \end{array}$$

Maka, jenis aliran yang melewati pelat adalah turbulen, karena Re < 50000.

Nu = 0,664 × Re^{0,3} × Pr^{0,30}
= 0,664 × (10630,21318)^{0,3} × (8,80286129)^{0,30} = 140,3346577

$$\alpha_i = \text{Nu} \times \frac{\lambda}{De}$$

= 140,3346577 × $\frac{0,31}{0,09}$ = 483,37 W/m².K

Koefisien Menyeluruh Perpindahan Panas (U)

$$\begin{array}{ll} \frac{1}{U} & = \frac{1}{\alpha \hbar} + \frac{t}{\lambda p} + \frac{1}{\alpha c} + Rc \\ \frac{1}{U} & = \frac{1}{483,37} + \frac{0,0008}{20,772} + \frac{1}{759,69} + 0,0005 = 254,87 \end{array}$$

d. Laju Kapasitas Panas (C)

a) Untuk perhitungan fluida dingin:

Untuk perhitungan fluida panas di sisi shell:

$$C_h = m_h \times \tilde{C}_{\mu,h}$$

= 2,32 × 4179 = 9703,393614 W/K

Dari laju kapasitas panas yang didapat, Co > Ch maka Conta = Co dan Cmin = Ch

e. Laju Perpindahan Panas Maksimum (Q_{maks})

Quadra =
$$C_{min} \times (T_{h,i} - T_{n,i})$$

= $9703,393614 \times (39 - 32,5)$
= $63072,05849 \text{ Watt} = 63,1 \text{ kW}$

f. Efektivitas Heat exchanger Tipo Plate-Frame pada Intercooler

$$\mathcal{E} = \frac{Qact}{Qmaks} = \frac{19406,78723}{63072,05849} \times 100 \%$$

= 30,7 %

KE-36

g. Number Transfer Unit
NTU =
$$\frac{U \times A}{Cmin}$$
 = $\frac{254,87 \times 88}{9703,393614}$ = 2,3

Perhitungan Perancangan Heat exchanger Tipe Shell and tube pada Intercooler

Perhitungan Perancangan Shell and tube Heat exchanger

a. Laju Perpindahan Panas





$$Q = Q_h = Q_s$$

 $\dot{Q}_a = m_h \times c_{p,h} \times (T_{h,a} - T_{h,i})$
 $= 2.321 \text{ kg/s} \times 4179 \text{ j/kg*c} \times (42.2 - 38)\text{*c}$
 $= 40737,728 \text{ watt} = 40,738 \text{ kw}$

b. Beda Temperatur Rata-rata Logaritma (LMTD)

$$\Delta T_{lm} = \frac{\Delta T_1 - \Delta T_2}{ln(\frac{\Delta T_1}{\Delta T_2})}$$

$$\Delta T_1 = (T_{bl} - T_{ol})$$
 $\Delta T_2 = (T_{b2} - T_{ol})$
= $(42,2-37)$ = $(38-33)$
= $5,2$ °C = 5 °C

$$\Delta \ T_{lm} = \frac{\Delta \Gamma_1 - \Delta T_2}{ln \left(\frac{\Delta T_1}{\Delta T_2}\right)} \qquad \Delta \ T_{lm} = \frac{5,2-5}{ln \left(\frac{5\cdot2}{5}\right)}$$

$$\Delta T_{i...} = 5.1 \degree C$$

Faktor koreksi untuk satu pass sheel dan dua pass tube:

$$\begin{split} \mathbf{R} &= \frac{Thi - Tho}{Tco - Tci} = \frac{42,2 - 38}{37 - 33} = \frac{4,2}{4} = 1,05 \\ \mathbf{P} &= \frac{Tco - Tci}{Thi - Tci} = \frac{37 - 33}{42,2 - 33} = \frac{4}{9,2} = 0,43 \end{split}$$

Berdasarkan grafik faktor koreksi heat exchanger untuk satu pass shell dan dua pass tube monunjukkan nilai $F_t = 0.88$

c. Koefisien Perpindahan Panas Menyeluruh Desain (Ud)

$$U_4 = \frac{Q}{A \times F \times LMTD}$$

W/m² °C.

A =
$$\frac{Q}{Ud \times F \times LMTD}$$
 = $\frac{40737,73 \text{ w}}{1703,46 \text{ W/m}^2\text{ C} \times 0,88 \times 5,1 \text{ C}}$
= 5.33 m²

- d. Perhitungan Sisi Tube
 - Monontukan jumlah tube

Jumlah tube (N_t)
$$= \frac{A}{L \times \pi \times do, E}$$
Nt = $\frac{5,33 m^2}{1,8288m \times 3,14 \times 0,01905m} = 48,68 \approx 49$

Luas Permukaan Perpindahan Panas Total (a.)

$$a_t = N \approx \frac{a't}{n}$$

$$= 49 \times \frac{0.00017m^3}{2} = 0.004165 \text{ m}^2$$

Kecepatan Aliran Massa Air di tube (G)

$$G_k = \frac{mh}{at} = \frac{2,321 \text{ kg/s}}{0,004165 \text{ m}^2} = 557,26 \text{ kg/m}^2.\text{s}$$

Bilangan Reynold (Rat)

$$R_{a,a} = \frac{dit \times Gt}{\mu}$$
= 0.01483 $m \times 557.26kg/m^2.s$

$$R_{A,a} = \frac{0.01483m \times 557.26kg/m^2.s}{0.000653 kg/ms} = 12655.57$$

Jenis aliran yang terjadi di dalam tube adalah aliran turbulen karena $R_{a\phi}$ >2300.



Koefisien Perpindahan Panas Konveksi (h)

$$Nu = \frac{dit \times h}{k}$$

$$Nu = 0.023 \times Re^{0.6} Pr^{0.33}$$

$$Nu = 0.023 \times (12655, 57)^{0.6} \times (8.8)^{0.33} = 13.64$$

$$h_i = \frac{Nu \times k}{di,t}$$

$$= \frac{13.64 \times 0.31 \ W/m^{-6}C}{0.01483m} = 14992.04 \ W/m^{2} {}^{\circ}C$$

- Perhitungan sisi Shell
 - Monghitung Diameter Shell

Persamaan untuk menghitung diameter shell

 $D_a = D_b + C_1$, dimana, $D_b =$ diameter bundel,

$$D_b = d_o \times (\frac{Nt}{k1})^{1/64}$$

= 0.019 × $(\frac{49}{0.249})^{1/2,297}$
= 0.019 × (196,787)^{6,45} = 0.205m

D_s = 205 + C₁, Nilai C₁ untuk pull through floating head = 88 mm

Baffle spacing (B) =
$$0.45 \times di$$
,s
= 0.45×0.293 m =

Baffle spacing (B) = 0,45 × di,s
= 0,45 × 0,293 m = 0,13185 m
Jumlah Baffle (N_b) =
$$\frac{L}{B}$$
 - 1 = $\frac{1,8288}{0,13185}$ - 1 = 13

Luas Permukaan Perpindahan Panas Total (a.)

$$\mathbf{a}_{s} = \frac{di, s \times C' \times B}{\frac{Pt}{0.293m \times 0.00475 \ m \times 0.13185 \ m}} = 7.978 \ \text{x} \ 10^{-3} \ \text{m}^{2}$$

Kecepatan Aliran Massa Air di shell (G.)

$$G_s = \frac{\dot{m}c}{as} = \frac{2,325 \, kg/s}{0.007978 \, m^2} = 291,41 \, kg/m^2.s$$

Bilangan Reynold (R_{ss})

$$R_{tot} = \frac{de \times Gs}{\mu}$$
, dimana $d_t =$ diameter hidrolik

$$D_{n} = \frac{4 \times (\frac{1}{2} \times Pt \times 0.86Pt - \frac{\frac{1}{2} \times \pi \times d2o.t}{4})}{\frac{1}{2} \times \pi \times do.t}$$

$$D_{a} = \frac{4 \times (\frac{1}{2} \times Pt \times 0.86Pt - \frac{\frac{1}{2} \times n \times d2o.t}{4})}{\frac{\frac{1}{2} \times n \times do.t}{2}} = 0.01136 \text{ m}$$

$$Maka, R_{a,a} = \frac{0.01136m \times 291.41 \text{ kg/m2.s}}{0.00072 \text{ kg/ms}} = 45978.02$$

Maka,
$$R_{ns} = \frac{0.01136 \tilde{m} \times 291.41 \text{ kg/m2.s}}{0.00072 \text{ kg/ms}} = 45978.02$$

Jenis aliran yang terjadi di dalam shell adalah aliran turbulan karena $R_{aa} = 2300$.

f. Koefisien Perpindahan Panas Konveksi (h.)

$$\begin{aligned} \text{Nu} &= \frac{h \times de}{k} \\ \text{Nu} &= 0.027 \times Re, s^{0.8} \times Pr, s^{0.4} \\ \text{Nu} &= (0.027) \times (45978.02)^{0.8} \times (4.8285)^{0.4} = 272.22 \\ \text{h}_{e} &= \frac{Nu \times k}{de} \end{aligned}$$





$$= \frac{272.22 \times 16.3 \, \text{W/m}^{\circ} \text{C}}{0.01136m} = 39059.74 \, \text{W/m}^{\circ} \, \text{°C}$$

g. Koofision Perpindahan Panas Menyeluruh Bersih (U_a)

Nilai k adalah Thermal conductivity steel SUS 304 Tube = 16,3 W/m K

$$\begin{array}{ll} U_{a} & = \frac{1}{\frac{\ln\frac{P0}{P1}}{2\pi Lk} + \frac{1}{h_{P}} + \frac{1}{h_{I}}} \\ U_{a} & = \frac{\frac{1}{\ln\frac{0.009525}{0.007415}} + \frac{1}{1428.07} + \frac{1}{285.12}}{\frac{1}{285.12}} \\ h. & \text{Penurunan tekanan (}\Delta\text{P}\text{)} \end{array}$$

Sisi Tube

$$\begin{split} \Delta P_t &= \frac{f \times Gt^2 \times L \times n}{2 \times g \times dt, t \times \rho \times \emptyset} \\ \text{Nilai } f_{\text{hibs}} &= (1,58 \times \text{Ln } (R_{\text{o,t}}) - 3,28)^{-2} \\ \text{f_{hibs}} &= (1,58 \times \text{Ln} (12655,57) - 3,28)^{-2} = 0,00738 \\ \text{make, } \Delta P_t &= \frac{0,00738 \times (557,26kg/m^2.s^2) \times 1,8288m \times 2}{2 \times 9,81 \ m/s^2 \times 0,01483m \times 992,63kg/m^3 \times 1} \\ &= 28,7 \ \text{kg/m}^2 = 0,0028 \ \text{bar} \end{split}$$

Sisi Shell

$$\Delta P_{s} = \frac{f \times Gs^{2} \times \left\{ \left(\frac{b}{b} - 1 \right) + 1 \right\} \times Ds}{2 \times \rho \times De \times \varnothing^{0.14}}$$
Nilai $f_{\text{shell}} = \exp \left\{ 0,576 - 0,19 \ln(\text{Re}) \right\}$

$$f_{\text{shell}} = \exp \left\{ 0,576 - 0,19 \ln(2445,56) \right\} = 0,404$$

$$\Delta P_{s} = \frac{0,404 \times 291,41^{2} \times \left\{ \left(\frac{1.8288}{0.192} - 1 \right) + 1 \right\} \times 0,293}{2 \times 994,08 \times 0,01136 \times 1^{9.14}}$$

$$= 4472,218 \text{ kg/m}^{2} = 0,4386 \text{ bar}$$

Laju Kapasitas Panas (C)

Untuk perhitungan fluida panas di tube:

$$C_h = m_h \times C_{p,h}$$

= 2,321 kg/s × 4179 J/kg K
= 9699.46 W/°C

Untuk perhitungan fluida dingin di shell:

$$C_o = m_o \times C_{\mu,o}$$

= 2,325 kg/s × 4178 J/kg K = 9713,85 W/K

Dari laju kapasitas kalor yang didapat, C. > Ch maka C. dan C. dan C. = =

Ch.Laju Perpindahan Kalor Maksimum (Qmaks)

j. Efektivitas Heat exchanger Tipo Shell and tube pada Intercooler

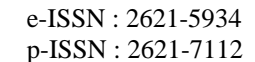
$$\mathcal{E} = \frac{\text{Qact}}{\text{Qmaks}} \\
\mathcal{E} = \frac{40737,7278}{89230,8} = 45,65 \%$$

k. Number of Transfer Unit (NTU)

$$NTU = \frac{U \times A}{Cmin}$$

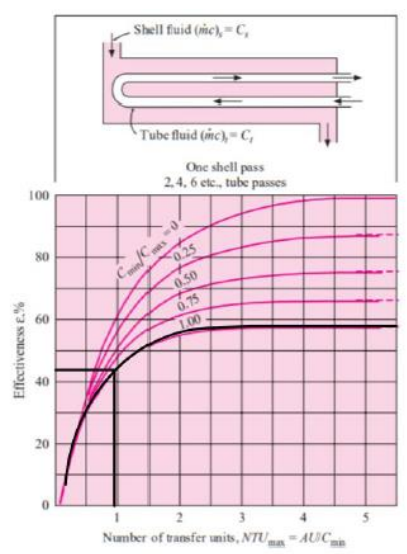
$$NTU = \frac{1703,46 \text{ W/m}^{2} \text{ °C} \times 5,33 \text{ m}^{2}}{9699,46 \text{ W/°C}} = 0,936$$

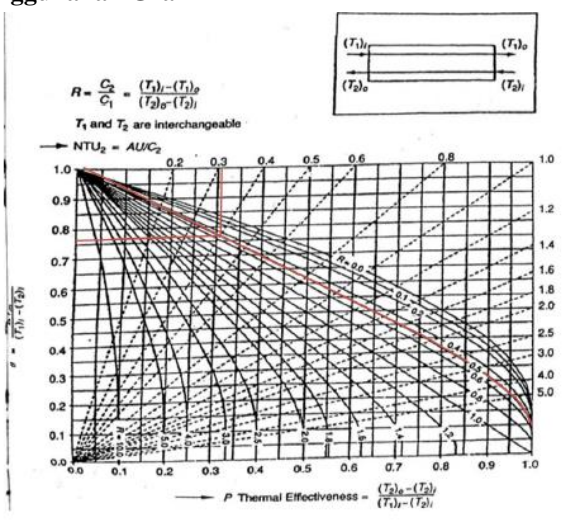






Nilai Efektivitas Sheel ant Tube dan Plate- Frame Menggunakan Grafik





Pembahasan dan Analisa Perhitungan

Berdasarkan hasil perhitungan nilai efektivitas dengan metode menggunakan teori ataupun menggunakan nilai grafik efektivitas *sheel and tube* dan *plate-frame*, didapatkan hasil yang tidak jauh berbeda, di mana untuk efektivitas perhitungan *plate-frame* sebesar 30,7% dan untuk *shell and tube* sebesar 45,65%. Dari angka tersebut, *heat exchanger* tipe *shell and tube one shell two tube* memiliki nilai perpindahan panas yang jauh lebih baik, jika dibandingkan dengan *heat exchanger* tipe *plate-frame*. Selain dari nilai efektivitas, biaya perawatan dan biaya investasi awal dalam menggunakan *heat exchanger* tipe *shell and tube* lebih hemat jika dibandingkan dengan *heat exchanger* tipe *plate-frame*.

4. KESIMPULAN

Berdasarkan hasil perhitungan dan analisis yang telah dilakukan dapat disimpulkan bahwa:

- 1. Hasil perancangan heat exchanger tipe shell and tube kami layak dipakai dengan dimensi panjang 1,83 m, shell diameter 0,405 m, tube outside diameter 0,01905 m, tube inside diameter 0,01483 m, flow area per tube 0,00017 m dengan material steel (SUS304) udah memenuhi standar-standar spesifikasi perancangan heat exchanger shell and tube. [8] Jika dibandingkan dengan heat exchanger jenis plate-frame yang sering mengalami kebocoran pada seal akibat adanya deformasi bentuk pada gasket. Selain itu bahan jenis titanium pada plate yang cukup mahal. Berdasarkan grafik nilai efektivitas shell and tube dan grafik nilai efektivitas pada plate-frame didapatkan hasil yang sama dan sesuai dengan hasil perhitungan
- 2. Hasil perancangan *heat exchanger* tipe *shell and tube* dapat diaplikasikan untuk *intercooler* di PLTP dan memiliki nilai efektivitas sebesar 45,65 %, dimana nilai efektivitas *heat exchanger* tipe ini lebih besar dibandingkan dengan tipe *plate-frame heat exchanger* yang memiliki nilai efektivitas sebesar 30,7 %.

5. DAFTAR PUSTAKA

- [1] R. K. Shah and D. P. Sekuli, Fundamentals of Heat Exchanger Design. 2003.
- [2] J. P. Fanaritis and J. W. Bevevino, "DESIGNING SHELL-AND-TUBE HEAT EXCHANGERS.," *Chem. Eng.* (New York), 1976.
- [3] Q. Wang, G. Chen, Q. Chen, and M. Zeng, "Review of Improvements on shell-and-tube heat exchangers with helical baffles," *Heat Transf. Eng.*, 2010, doi: 10.1080/01457630903547602.
- [4] I. Putra, "Studi Perhitungan Heat Exchanger Type Shell and Tube Dehumidifier Biogas Limbah Sawit Untuk Pembangkit Listrik Tenaga Biogas," *J. POLIMESIN*, vol. 15, no. 2, p. 42, 2017, doi: 10.30811/jpl.v15i2.373.
- [5] Hewitt, G. F; Shires, G.L; Bott, T. R., Process Heat Transfer, Begell House Inc, New York, 1994.
- [6] H. Syah, "Kajian Kinerja Penukar Panas Tipe Shell and Tube Satu Haluan dengan Pengontrolan Suhu Outlet," *J. Rekayasa Kim. Lingkung.*, 2013, doi: 10.23955/rkl.v9i4.1228.
- [7] Kern, D. Q, *Process Heat Transfer*, Mc Graw-Hi. Book Company, New York, 1965
- [8] J. P. Holman, Heat Transfer 10th Edition. 2008.

